

多重故障诊断方法研究 *

张晓梅

(上海财经大学 应用数学系, 上海 200433)

摘 要: 针对复杂系统故障模式较多时难以满足实时性的要求,对传统降阶观测器的诊断方法进行了改进,提出了基于动态观测器的诊断方法。该方法通过设计一个动态观测器去检测一系列故障,其效果等同于使用了一族观测器。当把耦合故障表示成故障信号的组合时,该方法可推广到耦合故障的诊断中。

关键词: 降阶观测器; 动态观测器; 多重故障; 故障诊断

中图法分类号: TP206

文献标识码: A

文章编号: 1001- 3695(2004)07- 0051- 03

Study of Multiple Fault Diagnosis Method

ZHANG Xiao- mei

(Dept. of Applied Mathematics, Shanghai University of Finance & Economics, Shanghai 200433, China)

Abstract: When the complicated system has more fault modes, the necessity of real- time can't be satisfied. So the diagnosis method on the dynamic observer is proposed to improve the traditional diagnosis method based on the reduced order observer. A series of faults can be detected through the dynamic observer, which is equal to a set of observers. When the couple fault can be expressed combination of the fault noise, this method can be used on the decoupling of the couple fault.

Key words: Reduced Order Observer; Dynamic Observer; Multiple Fault; Fault Diagnosis

由于自动化水平的不断提高,被诊断对象通常都是十分复杂的系统,所发生的故障更是多种多样。现有的多重故障诊断方法主要有两种,即 B- J 检测滤波器法^[1,2]和降阶观测器法^[3,4]。前一种方法是将观测器的残差固定于不同的方向,使之敏感于不同的故障;第二种方法是设计一族观测器,每个观测器只对一个故障敏感,并与其他故障解耦。但是在实际应用中,当被诊断对象故障模式较多时,上述两种方法都存在诊断速度较慢、观测器增益矩阵的设计过程十分烦琐等缺点,往往难以满足实时性的要求。因此,全面、系统和深入地研究基于模型的多重故障诊断方法,对提高系统的故障诊断能力显得格外重要。本文对传统的降阶观测器结构进行了改进,提出了基于动态观测器的诊断方法。该方法是通过设计一个动态观测器去检测一系列故障,效果等同于使用了降阶观测器。并将此方法推广到了耦合故障的情况。仿真结果表明了该方法的实时性和有效性。

1 带有多重故障的系统模型

设带有多重故障的线性系统模型表示为

$$\dot{x}(t) = Ax(t) + Bu(t) + \sum_{i=1}^q F_i \mu_i \quad (1)$$

$$y(t) = Cx(t) \quad (2)$$

其中, $\dot{x}(t) \in R^n$ 状态向量, $y(t) \in R^m$ 输出向量, $u(t) \in R^r$ 已知输入向量, A, B, C 分别为相应维数的实数矩阵, $\mu_i (i = 1, 2, \dots, q)$

是故障种类, $F_i (i = 1, 2, \dots, q)$ 是故障大小。显然, 当 $F_i \mu_i = 0$ 时意味着第 i 个执行机构处于正常状态; 而 $F_i \mu_i \neq 0$ 则表明处于故障状态。

2 动态观测器的结构设计

现假设式(1)中的故障向量组 F_1, F_2, \dots, F_q 线性无关, 且同一时刻只发生一种故障, 则某时刻系统的故障模型为

$$\dot{x}(t) = Ax(t) + Bu(t) + F_i \mu_i \quad (3)$$

$$y(t) = Cx(t) \quad (4)$$

设计动态观测器

$$\dot{\hat{x}}(t) = A \hat{x}(t) + Bu(t) + K(y(t) - C \hat{x}(t)) \quad (5)$$

$$z_i(t) = T_i \hat{x}(t) \quad (6)$$

$$r_i(t) = L_i z_i(t) + P_i y(t) \quad (7)$$

其中, 变换矩阵 T_i, L_i 和 P_i 须满足以下条件:

$$L_i T_i + P_i C = 0 \quad (8)$$

$$T_i F_i = 0 \quad (9)$$

因 F_i 和 F_j 线性无关, 故 $T_i F_j = 0 (j \neq i)$, 说明 T_i 使故障 F_i 与其他 $q-1$ 个故障分离开来。

考虑状态估计误差和输出残差方程

$$\dot{e}(t) = \dot{\hat{x}}(t) - \dot{x}(t) = (A - KC)e(t) + F_i \mu_i \quad (10)$$

$$r_i(t) = L_i T_i \hat{x}(t) + P_i Cx(t) \quad (11)$$

根据式(10), 式(11)变成以下形式

$$r_i(t) = L_i T_i e(t) \quad (12)$$

当系统正常时, 由 $F_i \mu_i = 0$ 可知 $\lim_{t \rightarrow \infty} e(t) = 0, \lim_{t \rightarrow \infty} r_i(t) = 0$;

收稿日期: 2003- 06- 29; 修返日期: 2003- 09- 10

基金项目: 国家“863”高技术研究资助项目(863- 2- 4- 8- 1)

当系统发生故障时,由 $F_i \mu_i = 0$ 可知 $\lim_{t \rightarrow \infty} e(t) = 0$, $\lim_{t \rightarrow \infty} r_i(t) = 0$ 。

若进一步用 T_i 左乘 $\dot{e}(t)$ 时并结合式(9),则

$$T_i \dot{e}(t) = T_i(A - KC)e(t) + T_i F_i \mu_i = T_i(A - KC)e(t) \quad (13)$$

式(13)表明变换矩阵 T_i 能消除故障 F_i 对 $e(t)$ 的影响,使 $\lim_{t \rightarrow \infty} r_i(t) = 0$ 仍然成立。若此时发生的故障为 $F_j \mu_j$,则式(13)变为

$$T_i \dot{e}(t) = T_i(A - KC)e(t) + T_i F_j \mu_j \quad (14)$$

于是 $\lim_{t \rightarrow \infty} r_i(t) = 0$,表明 T_i 并不影响故障 F_j 在残差中的输出。

下面讨论观测器增益 K 与变换矩阵 T_i , L_i 和 P_i 。

(1) 观测器增益 K 满足 $(A - KC)$ 的特征向量取自 $(F_1 \dots F_q)$ 中。

证明:由式(10)可得方程的稳态解

$$e(t) = e^{(A - KC)(t - t_0)} e(0) + \int_{t_0}^t e^{(A - KC)(t - \tau)} F_i \mu_i(\tau) d\tau \quad (15)$$

再根据文献[5],式(15)等价于以下形式

$$e(t) = e^{(A - KC)(t - t_0)} e(0) + (F_1 \dots (A - KC)^{n-1} F_i) \begin{pmatrix} 1(t) \\ 2(t) \\ \dots \\ n(t) \end{pmatrix} \quad (16)$$

设

$$(t) = T_i x(t) - z_i(t) = T_i e(t) \quad (17)$$

将式(16)代入(18)中得

$$(t) = T_i e^{(A - KC)(t - t_0)} e(0) + T_i (F_1 \dots (A - KC)^{n-1} F_i) \begin{pmatrix} 1(t) \\ 2(t) \\ \dots \\ n(t) \end{pmatrix} \quad (18)$$

由式(18)可以看出,为了消除故障 F_i 的影响,必须使下式成立

$$T_i (F_1 \dots (A - KC)^{n-1} F_i) = 0 \quad (19)$$

即等价于

$$\begin{aligned} T_i F_i &= 0 \\ T_i (A - KC) F_i &= 0 \\ &\dots \\ T_i (A - KC)^{n-1} F_i &= 0 \end{aligned} \quad (20)$$

当 F_i 是 $(A - KC)$ 的特征向量时,必有

$$(A - KC)^k F_i = \lambda^k F_i \quad (21)$$

$$T_i (\lambda^k F_i) = \lambda^k T_i F_i = 0 \quad (22)$$

(2) $T_i F_i = 0$ 意味着 T_i 是 F_i 的正交补。

(3) 由于式 $L_i T_i + P_i C = 0$ 可改写为 $(L_i P_i) \begin{pmatrix} T_i \\ C \end{pmatrix} = 0$,故 $(L_i P_i)$ 是 $\begin{pmatrix} T_i \\ C \end{pmatrix}$ 的正交补。

3 单故障诊断

考虑到在实际系统中,由于建模误差和噪声等各种扰动因素的影响,即使在系统无故障的情况下,稳态状态误差 $e(t)$ 和残差 $r(t)$ 也不可能精确地等于零,因此,可以根据实际系统中各种扰动因素对残差影响的大小,适当地选择阈值 r 。当残差 $r(t)$ 超过此阈值时可判断系统发生了故障,然后结合上述诊断方法,给出如下的故障诊断策略:

(1) 如果残差 $r(t) > r$,则系统处于正常状态, q 种故障均未

发生。

(2) 如果残差 $r(t) > r$,则系统发生了故障。是哪一个故障发生了,还要作进一步的诊断:

设计如式(5)~式(7)的观测器,计算所有的变换矩阵 T_i 。取满足 $T_i F_i = 0$ 的矩阵 T_i 变换观测器的状态,输出残差相应的会发生变化。若此时残差 $r(t) > r$,则故障 μ_i 发生;否则,转。

取满足 $T_2 F_2 = 0$ 的矩阵 T_2 变换观测器的状态。若此时残差变为 $r(t) > r$,则故障 μ_2 发生;以此类推。

$q-1$ 取满足 $T_{q-1} F_{q-1} = 0$ 的矩阵 T_{q-1} 变换观测器的状态。若此时残差变为 $r(t) > r$,则故障 μ_{q-1} 发生,否则必为故障 μ_q 发生。

4 耦合故障诊断

假设故障有两个或两个以上同时发生(线性相关的故障看成同一故障),在系统中两个故障或多个故障同时发生会导致一个新的故障信号,相应于两个故障影响的叠加,其故障分配矩阵可用两个故障分配矩阵的组合,形成一个新的故障模式。具体方法如下:

设系统原故障模式为 $\mu_1, \mu_2 \dots \mu_q$,相应的向量为 $F_1, F_2 \dots F_q$,满足两两线性无关。若 μ_i 与 μ_j 同时发生,就将其看成是一个新的故障 μ_{ij} 产生,相应的故障向量为 $F_{ij} = (F_i F_j)$, F_{ij} 是由 F_i, F_j 组成的增广矩阵。而且向量 $F_1, F_2 \dots F_q, F_{ij}$ 仍线性无关,当故障 F_i 发生时,必有

$$T_i F_i = 0 \quad (23)$$

$$T_2 F_i = 0 \quad (24)$$

$$T_i F_i = 0 \quad (25)$$

当故障 F_{ij} 发生时,必有

$$T_i F_{ij} = 0 \quad (26)$$

$$T_i F_{ij} = T_i (F_i F_j) = (0 \quad *) = 0 \quad (27)$$

$$T_j F_{ij} = T_j (F_i F_j) = (* \quad 0) = 0 \quad (28)$$

$$T_{ij} F_{ij} = 0 \quad (29)$$

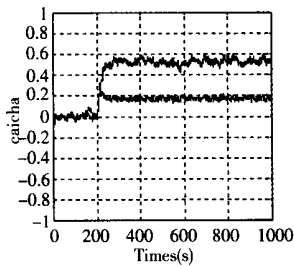
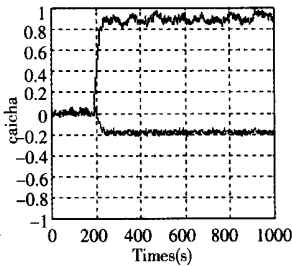
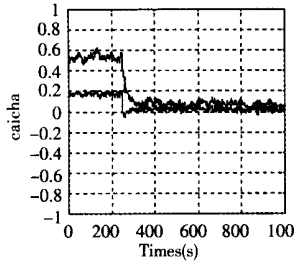
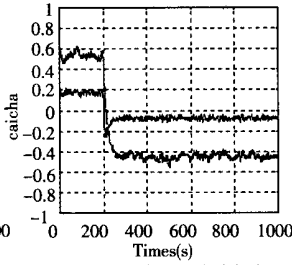
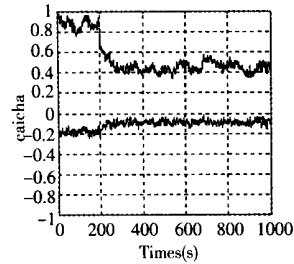
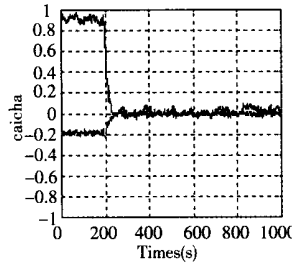
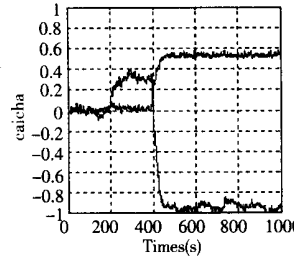
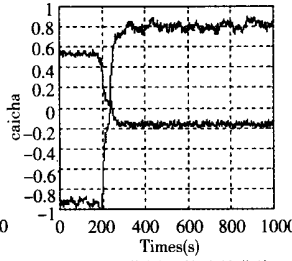
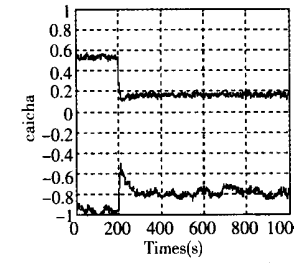
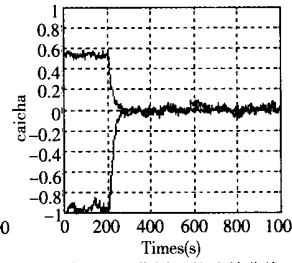
按照这种办法及结合专家经验,将 $\mu_1, \mu_2 \dots \mu_q$ 所有可能组合的情况加以考虑。考虑到具有一定可靠性的实际系统不可能开始就出现多个故障,不妨设系统故障模式最终有 1 个,即 $\mu_1, \mu_2 \dots \mu_q, \mu_{q+1} \dots \mu_1$,其中 $\mu_{q+1} \dots \mu_1$ 是耦合故障模式(排列次序为某两个耦合,进而某三个耦合等)。设计动态观测器,对上述故障进行检测与诊断。若诊断结果为故障 μ_i ($i = 1, 2, \dots, q$) 发生,则为单故障发生;若诊断结果为故障 μ_i ($i = q+1, q+2, \dots, 1$) 发生,则为耦合故障发生,且具体是哪几个故障发生是明确的。

5 诊断仿真

不失一般性,考虑如下系统,其中相应矩阵分别为

$$A = \begin{pmatrix} -1 & 0 \\ 0 & -2 \end{pmatrix}, B = \begin{pmatrix} 1 \\ 1 \end{pmatrix}, u = 1, C = \begin{pmatrix} 1 & 0 \\ 0 & 1 \end{pmatrix}, F_1 = \begin{pmatrix} 0.8 \\ 1.3 \end{pmatrix}, F_2 = \begin{pmatrix} 1.12 \\ -0.58 \end{pmatrix}$$

应用动态观测器进行检测,仿真结果如图 1~图 10 所示。

图1 发生故障 F_1 的残差曲线图2 发生故障 F_2 的残差曲线图3 T_1 变换后的残差曲线图4 T_2 变换后的残差曲线图5 T_1 变换后的残差曲线图6 T_2 变换后的残差曲线图7 F_1 和 F_2 同时发生的残差曲线图8 T_1 作用下的残差曲线图9 T_2 作用下的残差曲线图10 T_{12} 作用下的残差曲线

其中,图1和图2是故障 F_1 、 F_2 分别发生时观测器输出残差曲线;图3~图6是系统发生故障时,变换动态观测器的结构后所得残差曲线。从图3和图4可以判断出故障 F_1 发生了,从图5和图6可以判断出故障 F_2 发生了,与所设定的故障模式相符。故障 F_1 、 F_2 同时发生的残差曲线如图7所示。分别用 T_1 、 T_2 和 T_{12} 变换动态观测器的结构,输出残差曲线如图8~图10所示。从这几个图中可以看出,动态观测器只有用 T_{12} 变换后,其输出残差才趋于零。故诊断结果为故障 F_1 、 F_2 同时发生,这与所设定的故障模式完全相符。

6 结论

本文针对复杂系统故障模式较多时,传统的基于降阶观测器的诊断方法实时性难以保证的问题,提出了基于动态观测器的诊断方法。其思想是只设计一个动态观测器,但其结构可不断变换,使每次变换后的动态观测器对相应的故障具有鲁棒性,而对其他故障都敏感,通过判别残差列实现故障检测和诊断。该方法大大减少了观测器的数量,又达到了使用一族观测器的效果。将此方法进一步推广,提出了耦合故障的诊断方法。通过“组合”多种故障分配矩阵的方法重构故障模式,可有效地诊断出耦合故障。该方法具有推理简单,诊断速度快的优点。

参考文献:

- [1] Chen J, Patton R J, Zhang H Y. Design of Unknown Input Observers and Robust Fault Detection Filters[J]. Int. Journal of Control, 1996, 63(1): 85-105.
- [2] Chung W. Game Theoretic and Decentralized Estimation for Fault Detection[D]. Ph. D. Thesis, University of California, Los Angeles, 1997.
- [3] Hou M, Muller P C. Fault Isolation Filter Design for Linear Time-invariant Systems[J]. IEEE Trans. on Automatic Control, 1994, 42(5): 704-707.
- [4] Shen L C, Chang S K, Hsu P L. Robust Fault Detection and Isolation with Unstructured Uncertainty Using Eigenvalue Assignment Journal of Guidance[J]. Control and Dynamics, 1998, 21: 50-57.
- [5] Chen C T. Linear Systems Theory and Design[M]. Holt, Rinehart and Winston, 1984.

作者简介:

张晓梅(1972-),女,讲师,工学博士,研究方向为控制系统故障诊断。

(上接第50页) switch-case, do-while 等语句,它们的使用不当也会影响程序代码的效率。DSP 多采用流水线结构,频繁的跳转指令将使流水线难以发挥作用。因此要尽量对程序流程进行分析,用简单的条件组合来代替判断转移。另外要尽量地把常量表达式移出循环,这样就不用每次都计算常数表达式的值而耗费大量的时间。

4 结束语

本文通过对 DSP 定点算法的深入分析,提出了一种在上位 PC 机上对 DSP 定点算法进行 C 语言定点模拟的方案。该方案不但发挥了 C 语言的优点,而且由于采用了定点算法,同时也兼顾了汇编语言的优点,使得在上位机上进行的 DSP 算

法模拟很接近 DSP 实际的运行状况。经调试通过的算法很容易移植到 DSP 中运行,大大缩短了软件开发周期。

参考文献:

- [1] 张雄伟. DSP 芯片的原理与开发应用[M]. 北京:电子工业出版社, 1997.
- [2] 张卫宁,赵子婴. 定点 DSPs 的定标及其运算方法[J]. 计算机工程, 2002, 28(3): 223-225.
- [3] 高颀. 定点 DSP 中运算精度的提高[J]. 电子工程师, 2001, 27(2): 3-4.

作者简介:

苏义鑫(1966-),男,副教授,硕士生导师,博士研究生,研究方向为计算机控制、运动控制与智能控制;孙帅华(1976-),男,硕士研究生,研究方向为数字化工程。